

(討18) 鉄-13 at.%珪素合金中の逆位相境界及び規則格子転位の電子顕微鏡的観察

阪大工学部

○佐分利敏雄 稔野宗次

§1 序

純鉄は波状に帯を示すが、珪素を約4wt.% (7.1at.%)以上添加するとこの帯は直線状になることが知られており^{1) 2)}。この通りの模様の変化をWalter and Koch²⁾は珪素濃度の増加に伴う積層不整エネルギーの低下に帰している。しかしながら鉄-珪素系では約8~27at.%珪素の広い範囲にわたり D_{0_3} 規則格子が存在し^{3) 4)}、従って規則格子の形成が転位の模様を変え(規則格子転位)、その結果となり機構に変化を生じることが予想される。本実験の目的は鉄-珪素合金中に熱的に生じた逆位相領域構造及び規則格子形成に伴う転位の模様の変化とこれとの関係を明らかにすることである。充分な強度の規則格子反射を生じうる最低の珪素濃度として13at.%珪素を選んだ。

鉄-13at.%珪素合金は高温の無秩序状態から冷却すると、約1000°CでB2規則格子に変態し、更に冷却すると約800°Cで D_{0_3} 規則格子に変態する⁴⁾。B2及び D_{0_3} 規則格子はFig. 1に示す如く四つの面心立方の副格子が組み合ひ、これをとして表わすのが便利である⁵⁾。鉄-13at.%珪素合金中のB2規則格子は珪素原子を副格子I, IIに無秩序に置き、III, IV及び残りのI, II(珪素は13at.%であるから)には鉄原子を置いたものとして表わすことが出来る。故に実際にはB2規則格子では二つの副格子が区別出来るだけである。 D_{0_3} 規則格子は珪素原子をIのみに置き、II, III, IV及び残りのIに鉄原子を置いたものとして表わすことが出来る。 D_{0_3} 規則格子中には二種類の逆位相境界が考えられる^{6) 7)}。即ち一方は逆位相ベクトル $(\frac{1}{4})a'_0 <111>$ を有し、最近接原子の誤りによるものであり、他方は逆位相ベクトル $(\frac{1}{2})a'_0 <100>$ を有し、オニ近接原子の誤りによるものである。これら二種類の逆位相境界は熱的にも、あるいは又運動する転位により機械的にも生じることが予想される。熱的には無秩序→B2の変態の際に $(\frac{1}{4})a'_0 <111>$ 逆位相境界が生じ、B2→ D_{0_3} の変態の際に既存の $(\frac{1}{4})a'_0 <111>$ 領域内に $(\frac{1}{2})a'_0 <100>$ 逆位相境界が生じるとが期待される⁶⁾。Marcinkowski and Brown⁷⁾による結晶学的解析によると D_{0_3} 規則格子中の規則格子転位は、Fig. 2に示す如く逆位相境界により連結された

$(\frac{1}{4})a'_0 <111>$ なるバーガースベクトルを有する普通の転位四本より成り立っていると見えられる。転位1及び2, 3及び4の間の逆位相境界は $(\frac{1}{4})a'_0 <111>$ 型であり、2及び3の間のそれは $(\frac{1}{2})a'_0 <100>$ 型である。各々の逆位相境界エネルギーの大きさにより逆位相境界の中(Fig. 2の「」及び「」)は変化するが予想される。規則格子反射のみが逆位相境界のコントラストを生

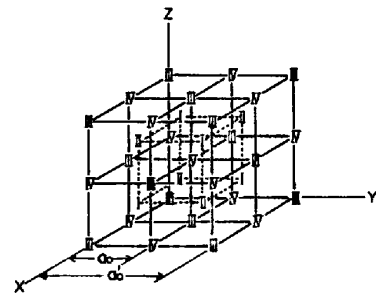


Fig. 1

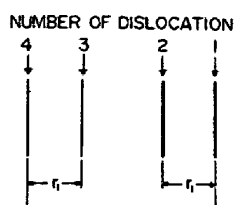


Fig. 2

じうる故、暗視野法は逆位相境界の観察に便利である。 $D0_3$ 規則格子から S_I と S_{II} の二種類の規則格子反射がある^{6) 7)}。低次の反射に対して、二種類の逆位相境界により生じる位相角をTable 1に示す。これより分

る如く S_I 反射は(本) $a'_0 <111>$ 及び(半) $a'_0 <100>$ 逆位相境界のコントラストを生じるが、 S_{II} 反射は(半) $a'_0 <111>$ 逆位相境界のコントラストのみを生じるものであろう。

§ 2 実験方法

99.9% 電解鉄と98.8% 硅素を真空(10^{-4} mmHg)溶解し、鉄-13at.%硅素合金を作り、鍛造、熱間圧延により0.4mm厚の板状試料とした。熱的逆位相境界に対する熱処理の効果を調べるために、試料には下記の三種類の熱処理(A, B, C)を施した。

- A 1100°C , 1時間 空冷 室温
- B 1100°C , 1時間 $3^{\circ}\text{C}/\text{分}$ 700°C , 1時間 空冷 室温
- C 1100°C , 1時間 $2^{\circ}\text{C}/\text{分}$ 700°C , 15時間 $5^{\circ}\text{C}/\text{分}$ 600°C , 20時間 $5^{\circ}\text{C}/\text{分}$ 500°C , 20時間 $3^{\circ}\text{C}/\text{分}$ 400°C , 21時間 $3^{\circ}\text{C}/\text{分}$ 300°C , 32時間 空冷 室温

規則格子転位及び機械的逆位相境界を観察するため、上の各々三種類の熱処理を施した試料のうち一部に冷間圧延により歪みを与えた。電子顕微鏡用薄膜は化學研磨後、電解研磨により作製した。観察にはJEM-7型電子顕微鏡(100kV)を用いた。

§ 3 実験結果

3. 1. 热的に生じた逆位相境界

Fig. 3は鉄-13at.%硅素合金中に熱処理Aにより生じた(本) $a'_0 <111>$ 逆位相境界を示す暗視野像($\bar{2}22(S_I)$ 規則格子反射による)である。この場合 $\bar{1}11$ 規則格子反射(S_{II})によっては逆位相境界らしきものは観察されなかった。これは $D0_3$ 型の規則格子も既に試料中に存在するが、多分その逆位相領域が小さすぎて観察しえないものと思われる。次に熱処理Bでは、(本) $a'_0 <111>$ 逆位相領域は成長して非常に大きくなるが(半) $a'_0 <100>$ 逆位相領域はまだ観察にかかる程大きくならない。熱処理Cの下では大きな(本) $a'_0 <111>$ 逆位相領域の中に、(半) $a'_0 <100>$ 逆位相領域も観察しある程度まで成長する。この熱的に生じた(半) $a'_0 <100>$ 逆位相境界をFig. 4に示す。Fig. 4は $\bar{1}11$ 規則格子反射による暗視野像である。逆位相領域の大きさは 1000 \AA

Table 1 Phase angles associated with $(\pm)a'_0 <111>$ and $(\pm)a'_0 <100>$ APB's for low index reflections hkl .

| hkl | Type of reflection | Phase angle for $(\pm)a'_0 <111>$ APB | Phase angle for $(\pm)a'_0 <100>$ APB |
|-------|--------------------|---------------------------------------|---------------------------------------|
| 111 | S_I | $\pm\frac{\pi}{2}$ | |
| 200 | S_{II} | $\pm\frac{\pi}{4}$ | $\pm\pi$ |
| 220 | P | 0 | 0 |
| 311 | S_I | $\pm\frac{\pi}{2}$ | |
| 222 | S_{II} | $\pm\frac{\pi}{2}$ | $\pm\pi$ |
| 400 | P | 0 | 0 |

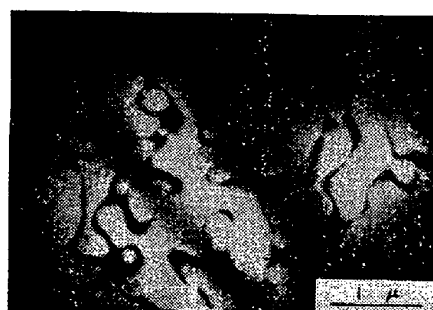


Fig. 3

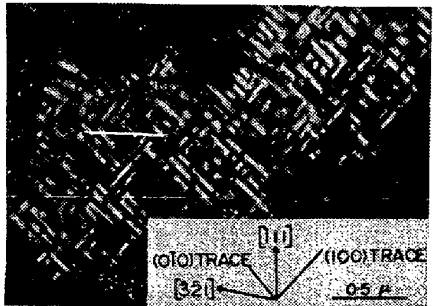


Fig. 4

程度である。Fig. 4 に観られる如く $(\frac{1}{2})a'_0 <100>$ 逆位相境界は $\{100\}$ 面上に優先的に存在する傾向が強い。これは Marcinkiewski and Brown⁶⁾ による結晶学的な考察結果とよく一致する。又同じ様な観察結果が、最近 Gomperle and Kočík⁸⁾ により報告されている。

3.2. 規則格子転位及び機械的逆位相境界

A, B, C いずれの熱処理を施した試料でも、その後の圧延により生じたと思われる転位は対になっていふことが観察された。Fig. 5(a) 及び(b)はそれぞれ、転位及びこれら転位を連結して成る逆位相境界を示す。

Fig. 5(a) は明視野像であり、Fig. 5(b) は同じ領域の $00\bar{2}$ 規則格子反射による暗視野像である。Fig. 5(a) の転位

$1-2, 3-4, 5-6$ はそれぞれ Fig. 5(b) の逆位相境界 A, B, C により連結されていふことがよくわかる。

$00\bar{2}$ 反射は SII であるから Fig. 5(b) の逆位相境界は $(\frac{1}{2})a'_0 <111>$ 型である。又トレース・アナリシスによるとこれら逆位相境界のトレースは $(1\bar{1}\bar{2})$ 面のトレースに平行であり、逆位相境界は $(1\bar{1}\bar{2})$ 面上にあることを示唆する。 $(1\bar{1}\bar{2})$ 面上にあるとして逆位相境界の中から試料の厚さを計算すると約 1000 \AA となり、妥当な値である。転位線の方向は $[1\bar{1}1]$ であり、全てラセン転位であると思われる。Fig. 6 は $0\bar{2}\bar{0}$ 規則

格子反射による暗視野像であり、やはり熱処理 B を施した試料中の機械的に生じた $(\frac{1}{2})a'_0 <111>$ 逆位相境界を示す。逆位相境界のトレースには 3 方向があることがわかる。トレース・アナリシスすると、これらはそれぞれ $(011), (121), (132)$ 面のトレースと一致する。これは近づが $\{110\}, \{112\}, \{123\}$ 面上で起つていることを示唆する。Fig. 6 の転位線は又すべて $[1\bar{1}1]$ 方向に平行であり、多分ラセン転位であろうと思われる。Fig. 6 から二つの転位対が更に $(\frac{1}{2})a'_0 <100>$ 逆位相境界により緊密に連結されていふ様にはみえず、転位は四本が一組になって動くではなく、一本が一本として動くものと考えられる。もしそうであるなら、各転位対はその背後に $(\frac{1}{2})a'_0 <100>$ 逆位相境界の帶を残していくなければならない。転位対の背後に残されたものと考えられる $(\frac{1}{2})a'_0 <100>$ 逆位相境界は Fig. 7(a) に示す如く熱処理 C を施した試料中に観察された。Fig. 7(a) は

111 規則格子反射による暗視野像であり、 $\{100\}$ 面上にあると考えられる熱的に生じた $(\frac{1}{2})a'_0 <100>$ 逆位相境界及び、それらを横切って機械的に生じたと考えられる長い逆位

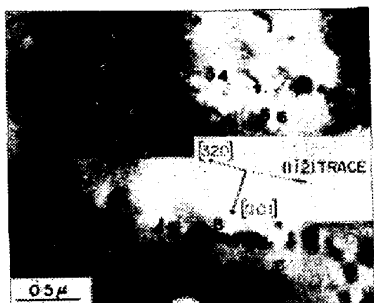


Fig. 5(a)(±), (b)(F)

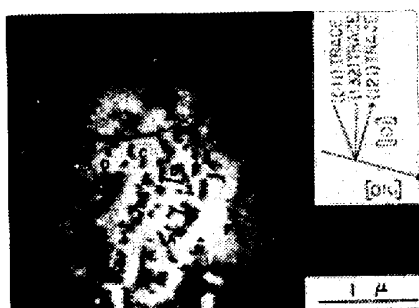


Fig. 6

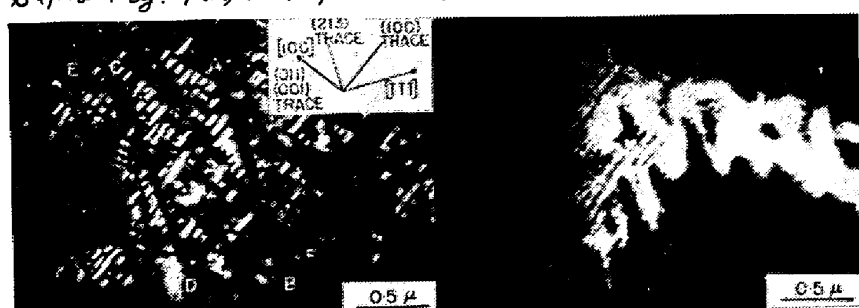


Fig. 7(a)

Fig. 7(b)

相境界 A - B, C - D ((213) トレースに平行), E - F ((011) トレースに平行) を示す。 (213) 面は試料表面と $68^\circ 48'$ の角度をなす故、 (213) 面上の逆位相境界は比較的巾広くみえ、試料表面とは直角な (011) 面上のものは非常に細くみえる。これらの機械的に生じた逆位相境界は Fig. 7(b) に示す如く 222 反射ではみえない故 (半) $a'_0 <100>$ 型であることが結論出来る。同じく熱処理 C を施した試料について他に多數観察を行ったが、いずれの場合も長い逆位相境界は Si 反射によつてはみられず、 Si 反射によってのみ観察可能であった。 Si 反射では、熱処理 C を施した試料でも比較的短い逆位相境界 (Fig. 8) のみが観察される。 Fig. 8 は 200 反射による暗視野像であり、短い (半) $a'_0 <111>$ 逆位相境界 (A 及び B) を示す。現在迄のところ (半) $a'_0 <111>$ 型及び (半) $a'_0 <100>$ 型両方を同一視野で観察することは成功していないが、 Si 反射のみで観察しうる長い逆位相境界は、 (半) $a'_0 <111>$ 逆位相境界により連結された (半) $a'_0 <111>$



Fig. 8

転位対の背後に残されたものであることは、ほぼ確かであると思われる。長い (半) $a'_0 <100>$ 逆位相境界は殆んどすべて真直ぐであり、これは (半) $a'_0 <111>$ 逆位相境界で連結された転位がクロススリップしにくいくことを示唆するものである。本実験により得られた情報によれば、 Walter and Koch²⁾ により観察された転位対は、いわゆる積層不整により連結された部分転位ではなく、逆位相境界により連結された規則格子転位であろうと思われる。そして Barrett 等¹⁾ 及び Walter and Koch²⁾ により観察された鉄-珪素合金の上りの様子の珪素濃度による変化は規則格子の形成に起因しているものと考えられる。同様なことが Marcinkowski and Chessin.⁹⁾ により FeCo について見出されてゐる。

References

- 1) Barrett, G. S., Ansel, G., and Mehl, R. F., 1937, Trans. Amer. Soc. Metals, 25, 702.
- 2) Walter, J. L., and Koch, E. F., 1965, Trans. Amer. Inst. min. (metall.) Engrs, 233, 1209.
- 3) Hansen, M., and Anderko, K., 1958, Constitution of Binary Alloys (New York: McGraw-Hill), p. 713.
- 4) Meinhardt, D., and Krisement, O., 1965, Arch. Eisenhuettenw., 36, 293.
- 5) Bradley, A. J., and Jay, A. H., 1932, Proc. roy. Soc. A, 136, 210.
- 6) Marcinkowski, M. J., and Brown, N., 1962, J. appl. phys., 33, 537.
- 7) Marcinkowski, M. J., and Brown, N., 1961, Acta Met., 9, 764.
- 8) Gemperle, A., and Kočík, J., 1965, physica status solidi, 11, 5.
- 9) Marcinkowski, M. J., and Chessin, H., 1964, Phil. Mag., 10, 837.